



# **Sistematización morfo-funcional del complejo motor facial del perro. Análisis de las neuronas de origen de los ramos periféricos del nervio facial, identificadas por transporte axónico retrógrado de peroxidasa.**

Alberto Prats Galino

**ADVERTIMENT.** La consulta d'aquesta tesi queda condicionada a l'acceptació de les següents condicions d'ús: La difusió d'aquesta tesi per mitjà del servei TDX ([www.tdx.cat](http://www.tdx.cat)) ha estat autoritzada pels titulars dels drets de propietat intel·lectual únicament per a usos privats emmarcats en activitats d'investigació i docència. No s'autoritza la seva reproducció amb finalitats de lucre ni la seva difusió i posada a disposició des d'un lloc aliè al servei TDX. No s'autoritza la presentació del seu contingut en una finestra o marc aliè a TDX (framing). Aquesta reserva de drets afecta tant al resum de presentació de la tesi com als seus continguts. En la utilització o cita de parts de la tesi és obligat indicar el nom de la persona autora.

**ADVERTENCIA.** La consulta de esta tesis queda condicionada a la aceptación de las siguientes condiciones de uso: La difusión de esta tesis por medio del servicio TDR ([www.tdx.cat](http://www.tdx.cat)) ha sido autorizada por los titulares de los derechos de propiedad intelectual únicamente para usos privados enmarcados en actividades de investigación y docencia. No se autoriza su reproducción con finalidades de lucro ni su difusión y puesta a disposición desde un sitio ajeno al servicio TDR. No se autoriza la presentación de su contenido en una ventana o marco ajeno a TDR (framing). Esta reserva de derechos afecta tanto al resumen de presentación de la tesis como a sus contenidos. En la utilización o cita de partes de la tesis es obligado indicar el nombre de la persona autora.

**WARNING.** On having consulted this thesis you're accepting the following use conditions: Spreading this thesis by the TDX ([www.tdx.cat](http://www.tdx.cat)) service has been authorized by the titular of the intellectual property rights only for private uses placed in investigation and teaching activities. Reproduction with lucrative aims is not authorized neither its spreading and availability from a site foreign to the TDX service. Introducing its content in a window or frame foreign to the TDX service is not authorized (framing). This rights affect to the presentation summary of the thesis as well as to its contents. In the using or citation of parts of the thesis it's obliged to indicate the name of the author.

UNIVERSIDAD DE BARCELONA

FACULTAD DE MEDICINA

'SISTEMATIZACION MORFO-FUNCIONAL DEL COMPLEJO MOTOR  
FACIAL DEL PERRO. ANALISIS DE LAS NEURONAS DE ORIGEN  
DE LOS RAMOS PERIFERICOS DEL NERVIO FACIAL, IDENTI-  
FICADAS POR TRANSPORTE AXONICO RETROGRADO DE PERO-  
XIDASA'.

Tesis Doctoral presentada para  
aspirar al Grado de Doctor

Alberto PRATS GALINO

Barcelona, 1987

## ICONOGRAFIA

Fig. 10. - Células del subnúcleo intermedio. Tionina.

Fig 10. 1. - Células de mediano y gran tamaño.  
(x300).

Fig 10. 2. - Detalle. (x400).

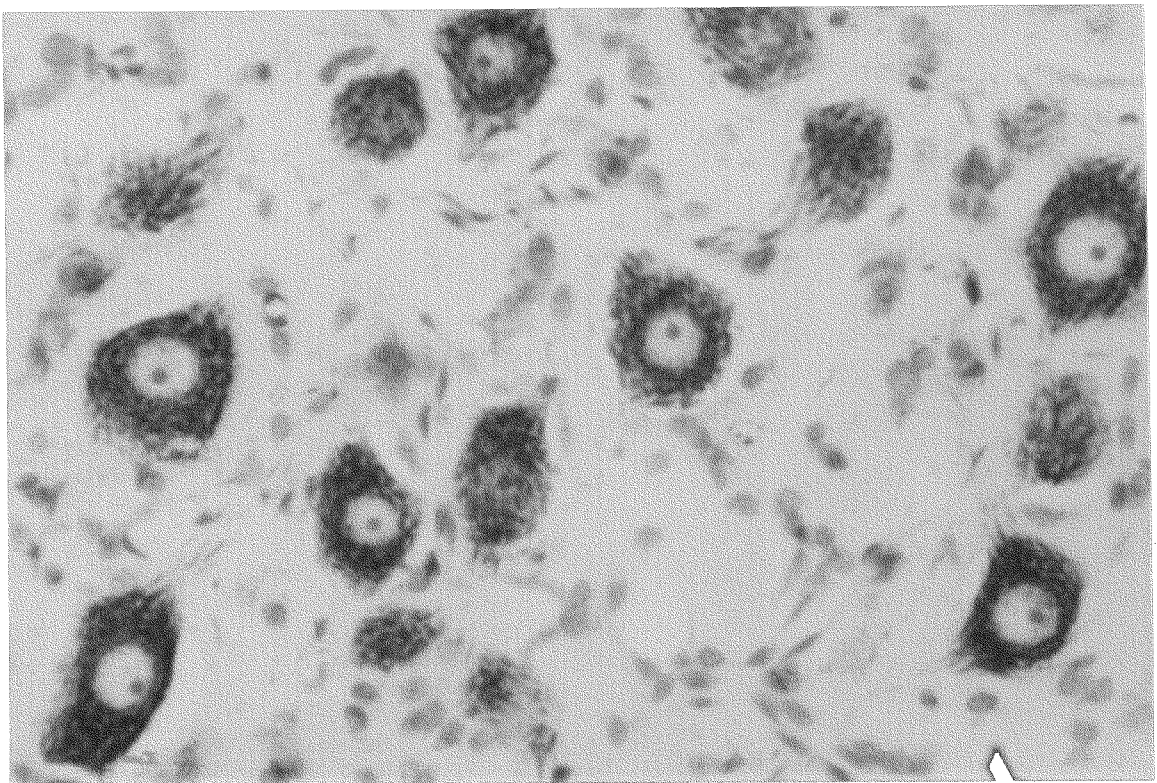


Fig. 10.1

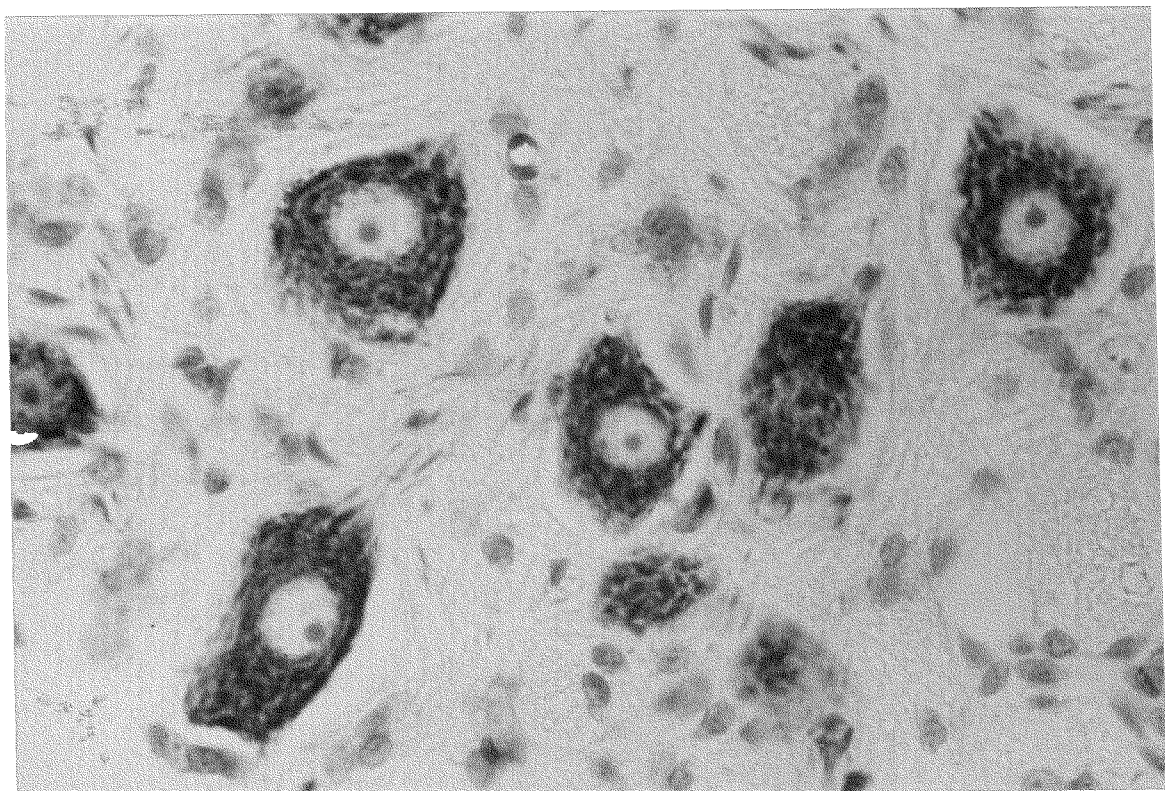


Fig. 10.2

Fig. 11. - Células del subnúcleo ventromedial. Tionina.

Fig 11.1. - Células de mediano tamaño. (x300).

Fig 11.2. - Detalle. (x400).

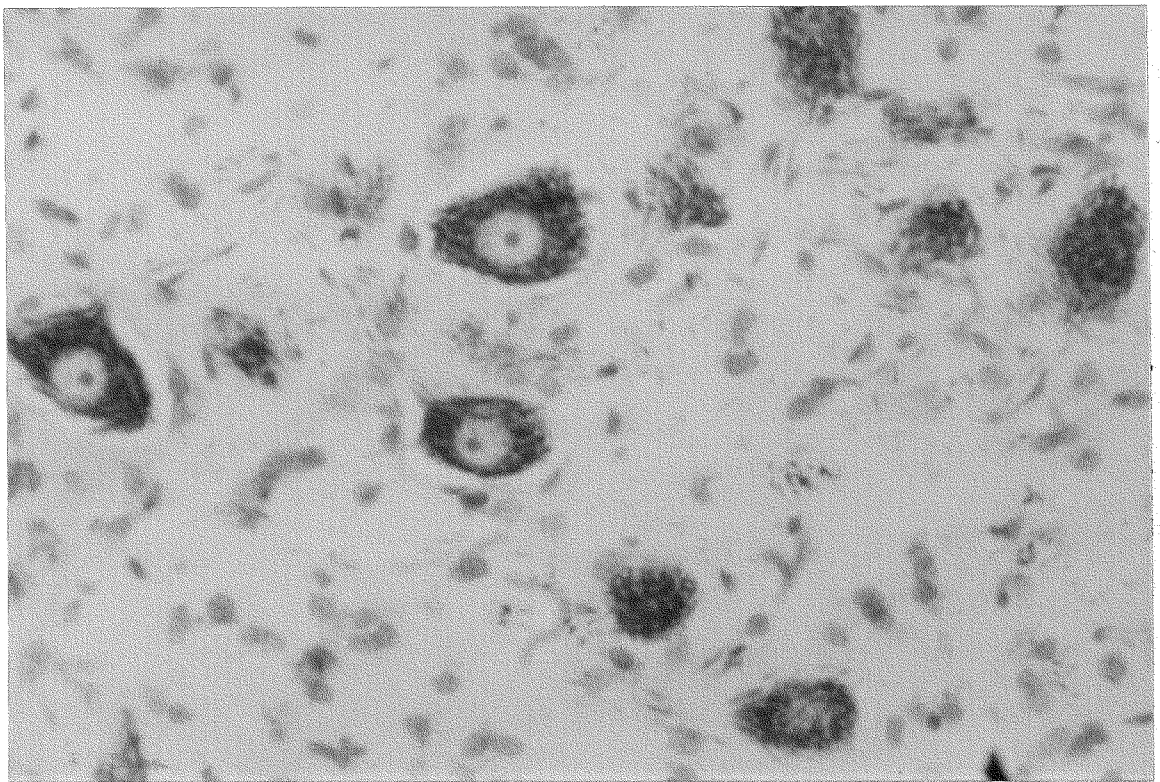


Fig. 11.1

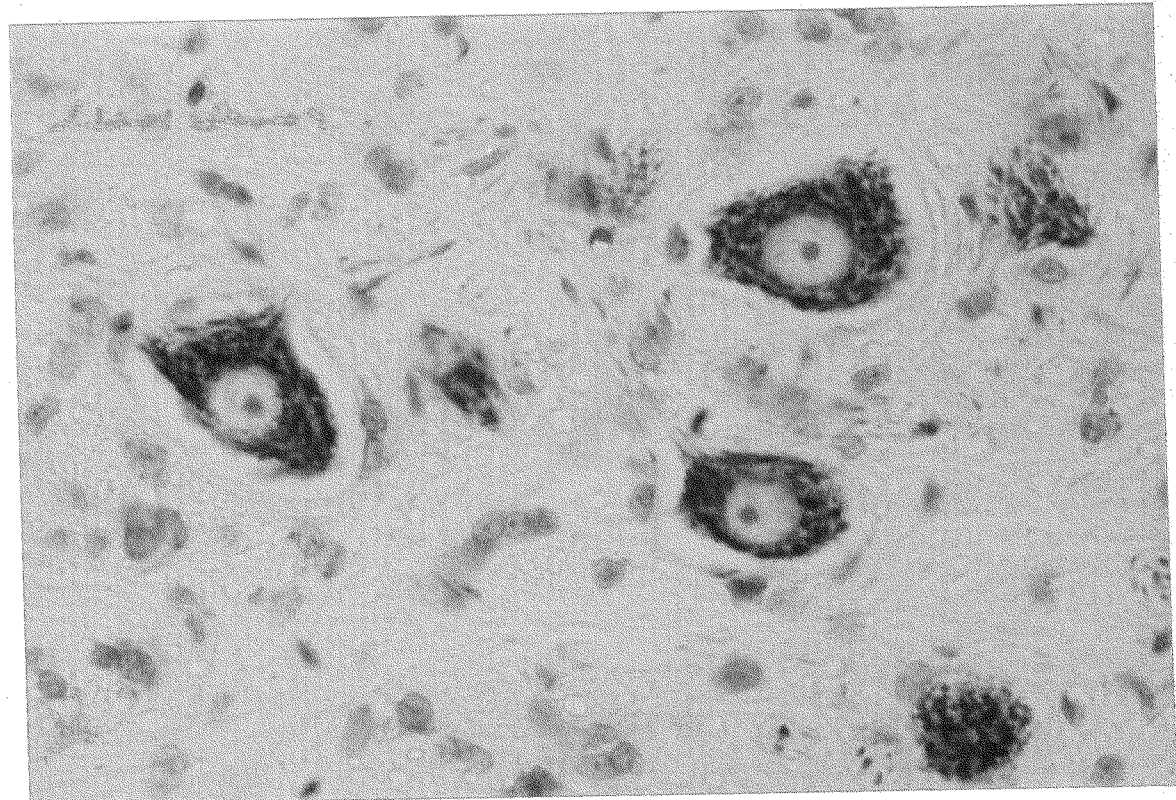


Fig. 11.2

Fig. 12. - Células del subnúcleo intermedio-medial.  
Tionina.

Fig 12.1.- Células de mediano tamaño de la -  
porción lateral del subnúcleo intermedio-me-  
dial. (x400).

Fig 12.2.- Célula de gran tamaño de la por-  
ción medial del subnúcleo intermedio-medial.  
(x400).

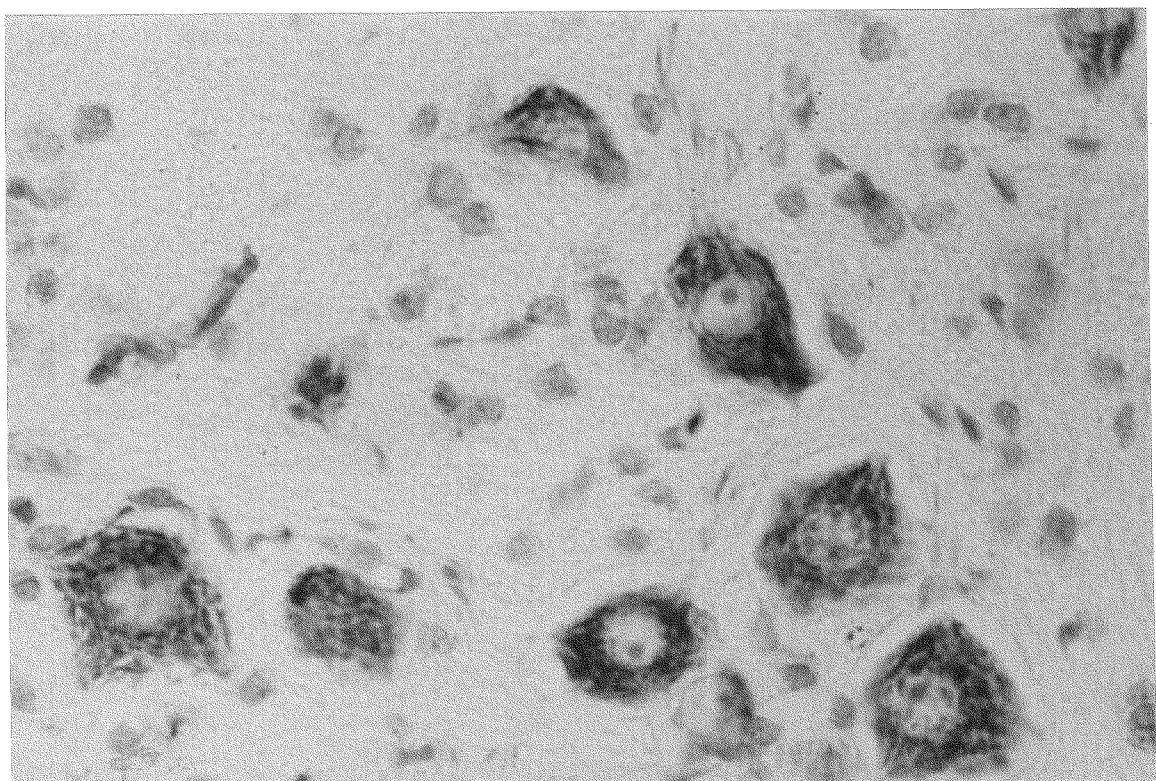


Fig. 12.1

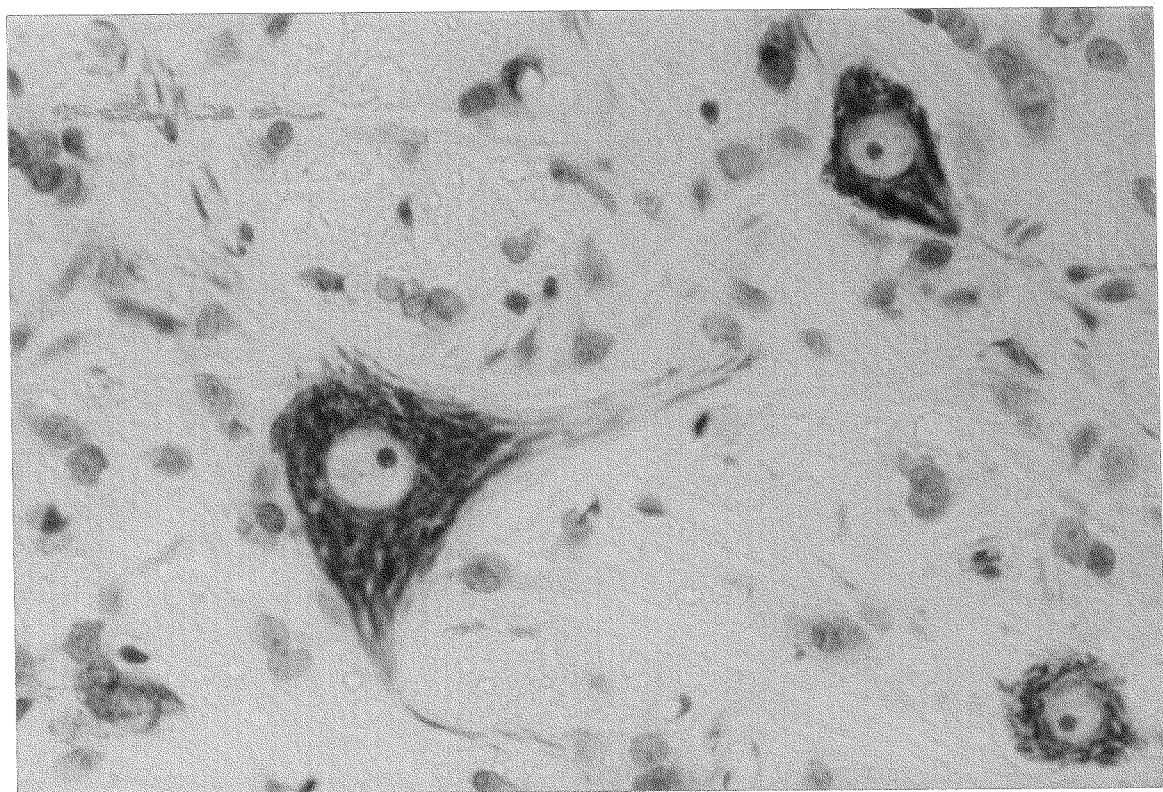


Fig. 12.2

Fig. 13. - Células del subnúcleo dorsomedial. Tionina.

Fig 13.1.- Células de pequeño y mediano tamaño. (x400).

Fig 13.2.- Células de pequeño tamaño. (x400).

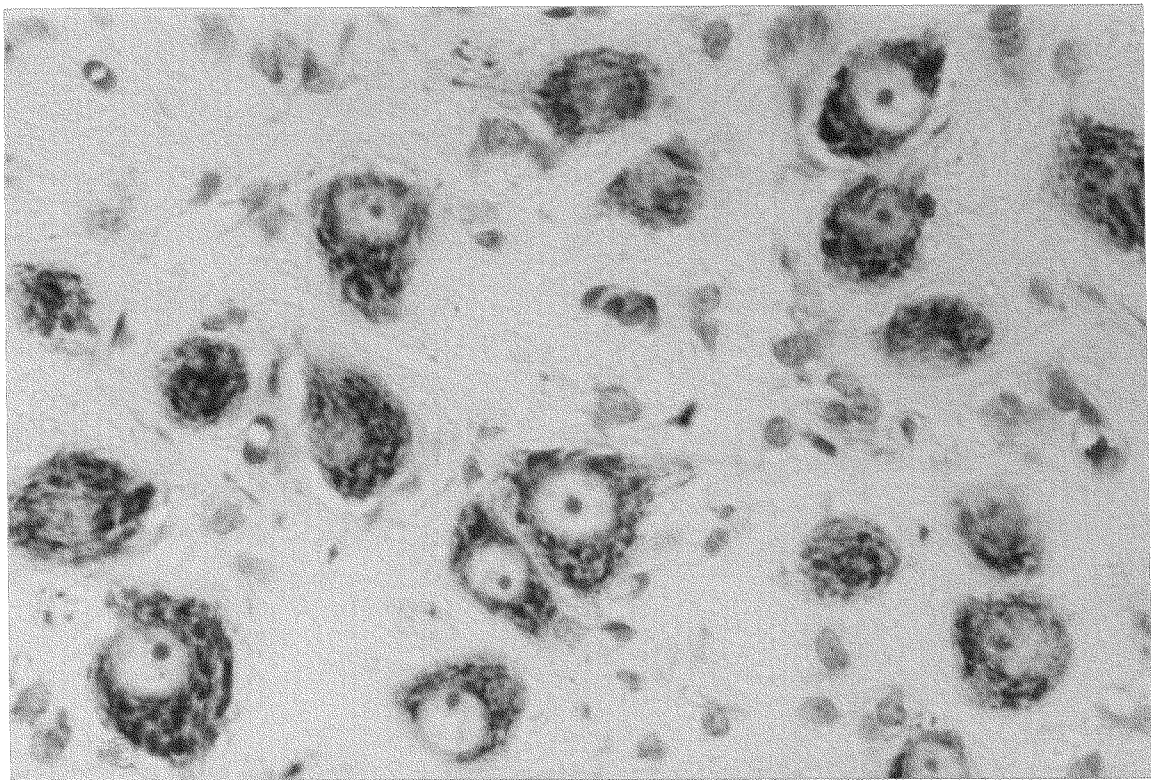


Fig. 13.1

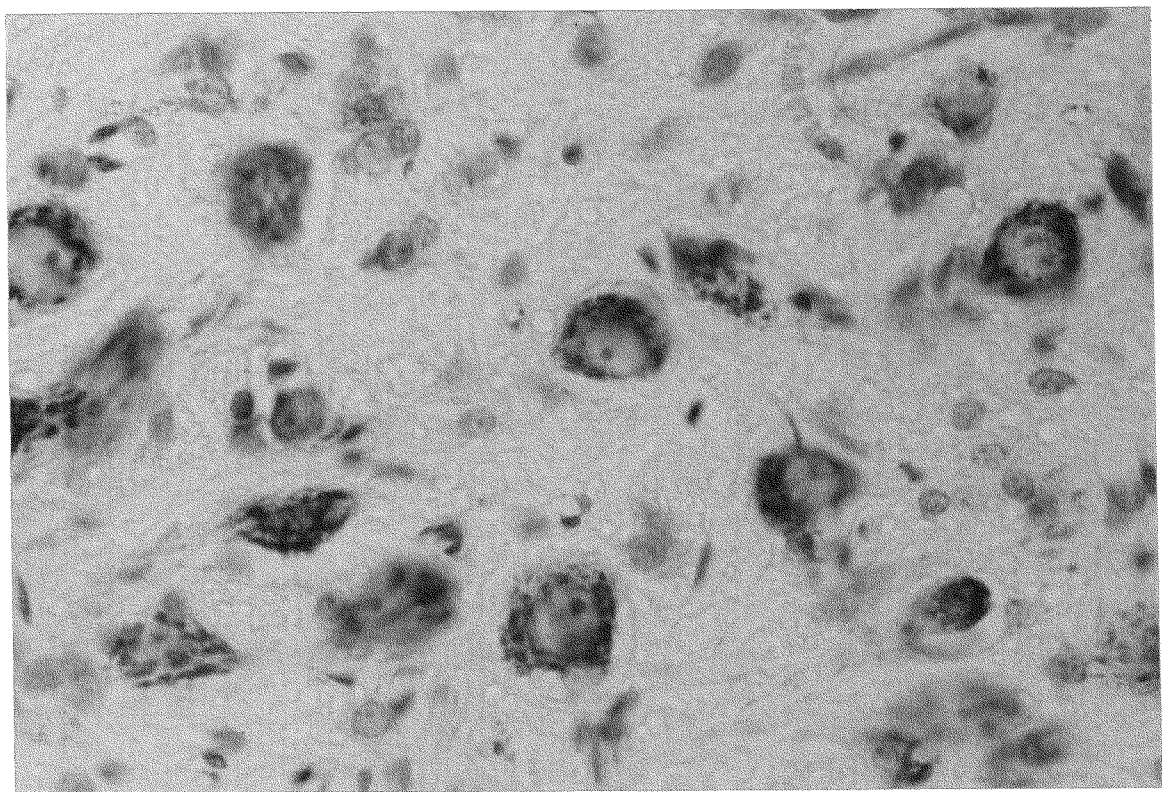


Fig. 13.2

Fig. 14.- Niveles caudales del núcleo facial. Relaciones con el núcleo retrofacial. Tionina.

Fig 14.1.- Polo caudal del núcleo facial, representado por los subnúcleos ventrolateral, dorsolateral e intermedio. (x48).

Fig 14.2.- Aparición progresiva de las células del subnúcleo intermedio-medial y marcada reducción del núcleo retrofacial. (x48).

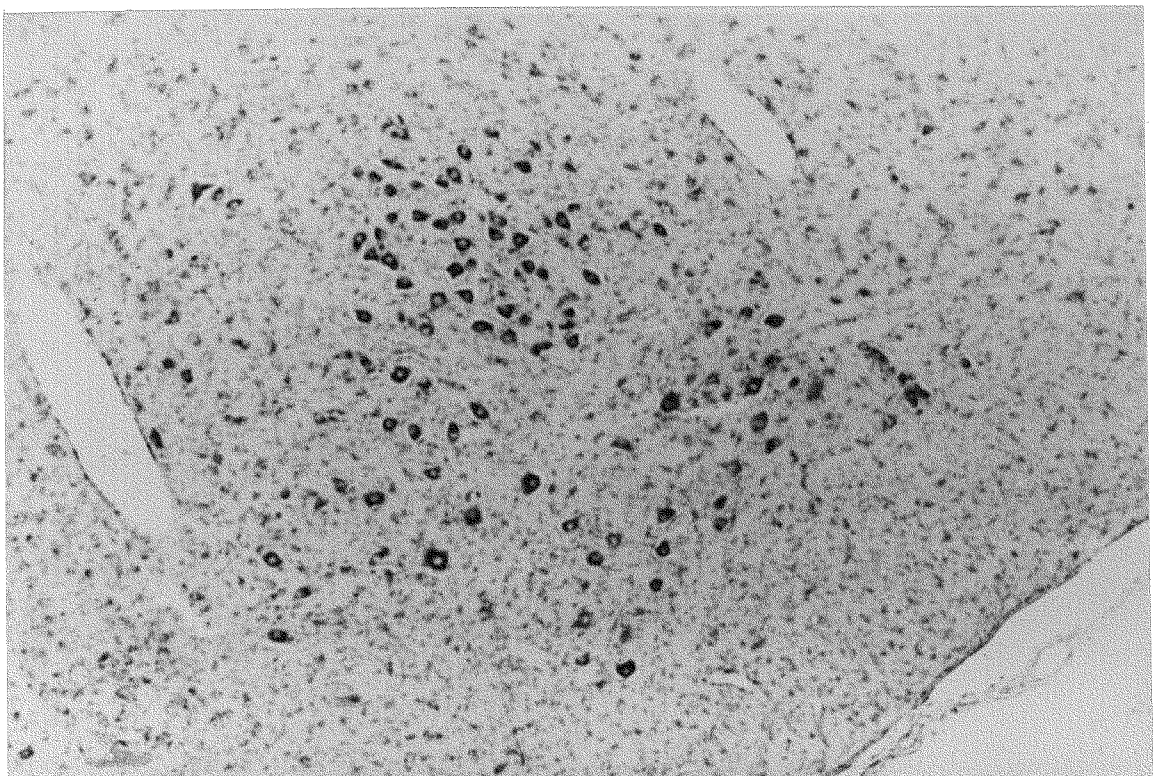


Fig. 14.1

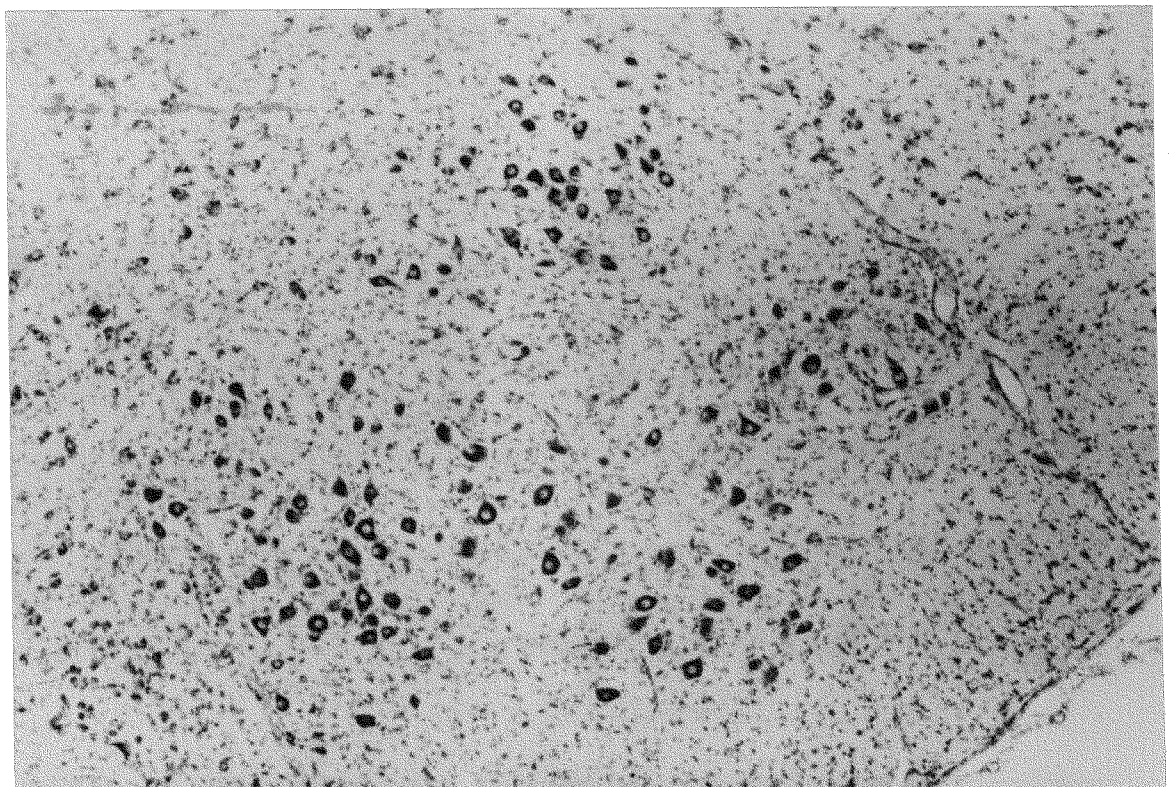


Fig. 14.2

Fig. 15.- Niveles medio-caudales del núcleo facial.  
Tionina.

Fig 15.1.- Se observan las seis subdivisiones citoarquitectónicas. (x48).

Fig 15.2.- Desarrollo del subnúcleo dorsomedial y extensión medial del subnúcleo intermedio-medial. En ciertos niveles confluyen los subnúcleos ventrolateral y dorsolateral en una masa lateral única. (x48).

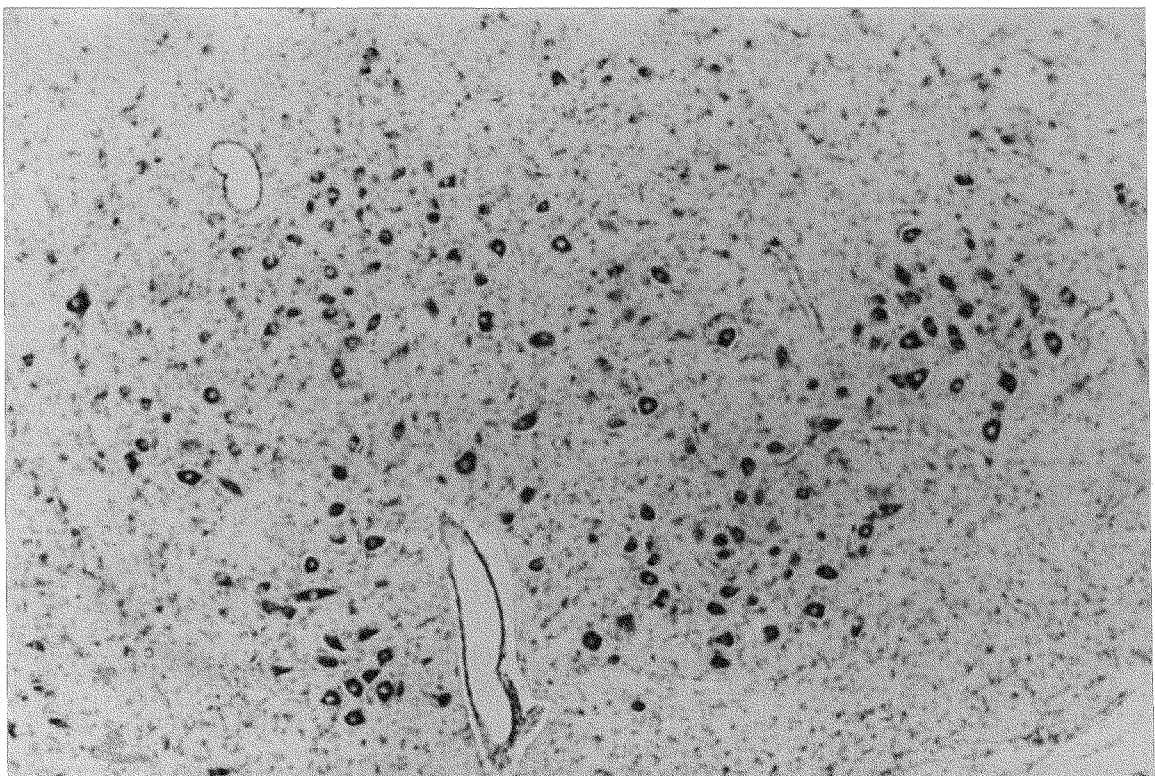


Fig. 15.1

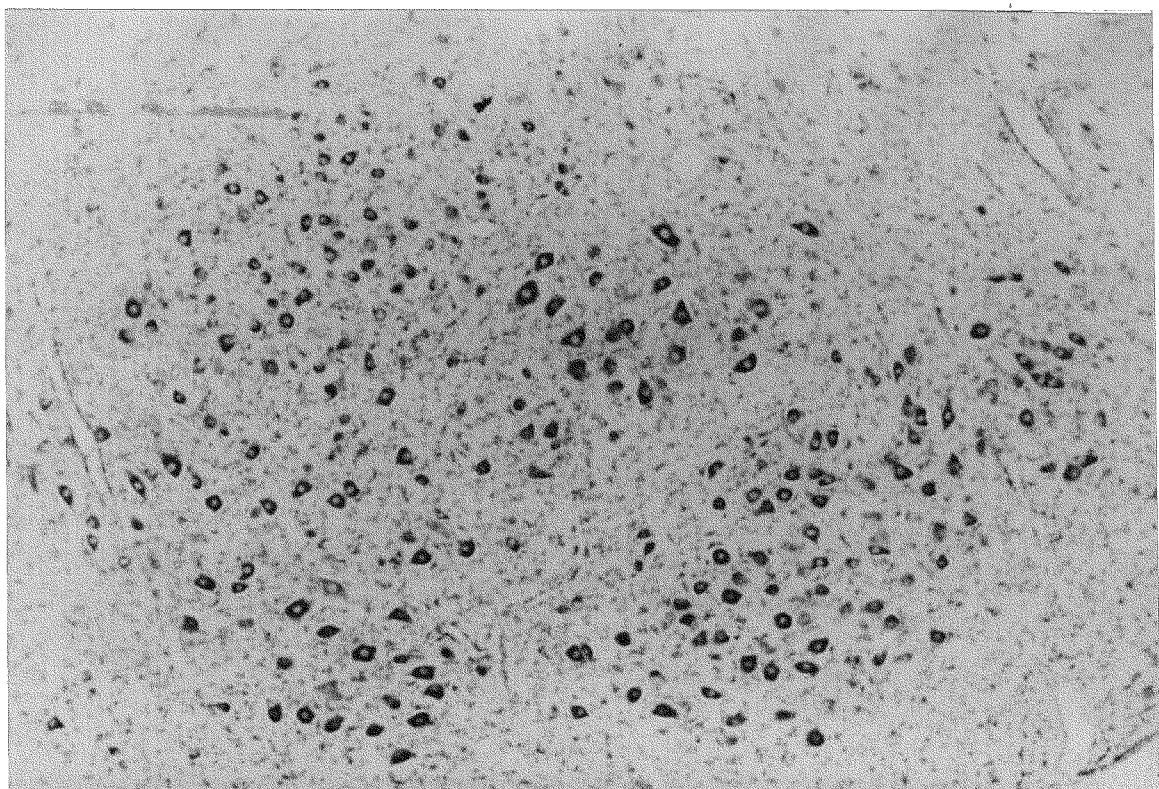


Fig. 15.2